

## 第 21 章 单位根与协整

### 21.1 非平稳序列

称不平稳的时间序列为“非平稳序列”(non-stationary time series)。

(1) 确定性趋势(deterministic trend)。比如,

$$y_t = \beta_0 + \beta_1 t + \varepsilon_t$$

$E(y_t) = \beta_0 + \beta_1 t$  随时间而变, 故不平稳。去掉时间趋势, 即为平稳

序列，故称“趋势平稳”(trend stationary)序列。

(2) 结构变动(structural break): 如果时间序列存在结构变动，则为非平稳序列。对此，可进行邹检验(Chow test)。

(3) 随机趋势(stochastic trend)。比如，随机游走模型(random walk):

$$y_t = y_{t-1} + \varepsilon_t$$

其中， $\{\varepsilon_t\}$ 为白噪声。

由于 $\Delta y_t = \varepsilon_t$ ，故来自 $\{\varepsilon_t\}$ 的任何扰动对 $\{y_t\}$ 都具有永久冲击。

如包含常数项，则为“带漂移的随机游走”(random walk with drift):

$$y_t = \beta_0 + y_{t-1} + \varepsilon_t, \quad \beta_0 \neq 0$$

其中， $\beta_0$ 为每个时期的平均“漂移”(drift)。

对于随机游走进行一阶差分，可得平稳序列，故称“差分平稳”(difference stationary)序列。

**定义** 称平稳的时间序列为“零阶单整”(Integrated of order zero)，记为 I(0)。

如果时间序列的一阶差分为平稳过程，则称为“一阶单整”(Integrated of order one)，记为 I(1)，也称“单位根过程”(unit root process)。

更一般地，如果时间序列的  $d$  阶差分为平稳过程，则称为“ $d$  阶单整” (Integrated of order  $d$ )，记为  $I(d)$ 。

对于平稳的  $I(0)$  序列，长期而言有回到期望值的趋势，称为“均值回复” (mean-reverting)。

非平稳的  $I(1)$  序列则“到处乱跑” (wander widely)，无此性质。

$I(0)$  序列对过去行为只有有限记忆，过去扰动项对未来的影响随时间而衰减。

$I(1)$  序列对过去行为有无限记忆，过去冲击将永久改变未来的整个序列。

**定义** 如果时间序列 $\{y_t\}$ 的  $d$  阶差分为平稳的 ARMA( $p, q$ )过程，  
则称 $\{y_t\}$ 为 ARIMA( $p, d, q$ )过程。

最常见的为 ARIMA( $p, 1, q$ )，经过一次差分得到平稳 ARMA( $p, q$ )。

## 21.2 ARMA 的平稳性

在什么情况下，ARMA( $p, q$ )才平稳？

MA( $q$ )平稳，因为是有限白噪声的线性组合。

故 ARMA( $p, q$ )的平稳性取决于 AR( $p$ )部分。

对于 AR(1),  $y_t = \beta_0 + \beta_1 y_{t-1} + \varepsilon_t$ , 如  $\varepsilon_t$  平稳且  $|\beta_1| < 1$ , 则为平稳过程。

AR(1)其实是一阶随机差分方程, 其稳定性与确定性差分方程  
“ $y_t = \beta_0 + \beta_1 y_{t-1}$ ”一样。

而非齐次差分方程 “ $y_t = \beta_0 + \beta_1 y_{t-1}$ ” 的解取决于对应的齐次差分  
方程 “ $y_t = \beta_1 y_{t-1}$ ” 的通解,  $y_t = y_0 \beta_1^t$ , 故稳定条件为  $|\beta_1| < 1$ 。

考慮 AR( $p$ )的平稳性, 即  $y_t = \beta_0 + \beta_1 y_{t-1} + \cdots + \beta_p y_{t-p} + \varepsilon_t$ 。

对应的确定性齐次差分方程:  $y_t = \beta_1 y_{t-1} + \cdots + \beta_p y_{t-p}$ 。

假设解为  $y_t = z^{-t} = (1/z)^t$ , 其中  $z$  待定。代入差分方程可得

$$z^{-t} - \beta_1 z^{-(t-1)} - \cdots - \beta_p z^{-(t-p)} = 0$$

两边同乘以  $z^t$  可得特征方程：

$$\phi(z) \equiv 1 - \beta_1 z - \cdots - \beta_p z^p = 0$$

此多项式方程在复数域中一定有  $p$  个根(包括重根)。

对应的齐次差分方程也有  $p$  个形如  $(1/z)^t$  的解，而通解是这  $p$  个解的线性组合。

如果要求  $\{y_t\}$  收敛于某稳定值，则特征方程所有解的范数  $\|z\|$  (即在复平面上  $z$  离原点的距离)都须大于 1，故所有解必须都落在复平面上的单位圆之外，参见图 21.1。

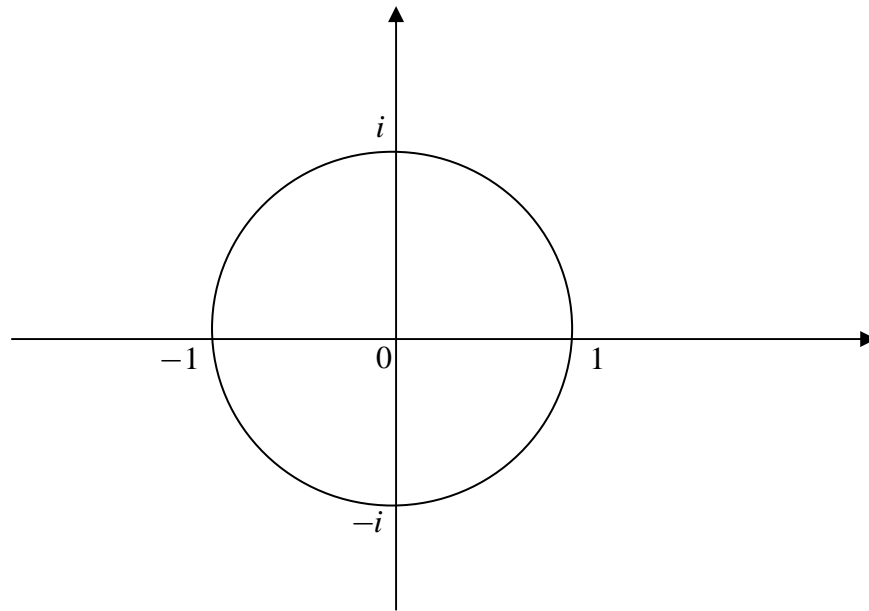


图 21.1 复平面上的单位圆

如果某个根正好落在单位圆之上，则称为“单位根”(unit root)，比如随机游走的情形。

如果特征方程的某个根落在单位圆之内，则为爆炸式(explosive)增长的非平稳过程。

例 对于 AR(1)，其特征方程为 $1 - \beta_1 z = 0$ ，故 $z = 1/\beta_1$ 。

$\|z\| = |z| > 1 \Leftrightarrow |\beta_1| < 1$ 。故 AR( $p$ )稳定性的结论是对 AR(1)的推广。

## 21.3 VAR 的平稳性

AR( $p$ )的平稳性条件可推广到 VAR( $p$ ):

$$\mathbf{y}_t = \boldsymbol{\Gamma}_0 + \boldsymbol{\Gamma}_1 \mathbf{y}_{t-1} + \cdots + \boldsymbol{\Gamma}_p \mathbf{y}_{t-p} + \boldsymbol{\varepsilon}_t$$

其中， $\{\boldsymbol{\varepsilon}_t\}$ 为向量白噪声过程。如果对于复数  $z$ ，特征方程

$$|\mathbf{I}_n - \boldsymbol{\Gamma}_1 z - \cdots - \boldsymbol{\Gamma}_p z^p| = 0$$

的所有根都落在复平面的单位圆之外(即  $\|z\| > 1$ )，则此 VAR( $p$ )为平稳过程，其中， $|\cdot|$ 表示行列式。

当  $p=1$  时， VAR(1) 的平稳性要求  $|\boldsymbol{I}_n - \boldsymbol{\Gamma}_1 z| = 0$  的所有根都满足  $\|z\| > 1$ ，即  $\|1/z\| < 1$ 。

由于  $|\boldsymbol{I}_n - \boldsymbol{\Gamma}_1 z| = |z| \cdot |(1/z)\boldsymbol{I}_n - \boldsymbol{\Gamma}_1|$ ，故  $|(1/z)\boldsymbol{I}_n - \boldsymbol{\Gamma}_1| = 0$ ，因此  $1/z$  为矩阵  $\boldsymbol{\Gamma}_1$  的特征值(根据特征值的定义)。

故 VAR(1) 的平稳性要求  $\boldsymbol{\Gamma}_1$  的所有特征值都落在单位圆之内(即  $\|1/z\| < 1$ )。

对于 VAR( $p$ )，可先将其写为 VAR(1)的形式，再判断其平稳性。

首先，定义如下三个  $np \times 1$  的列向量：

$$\tilde{\mathbf{y}}_t = \begin{pmatrix} \mathbf{y}_t \\ \mathbf{y}_{t-1} \\ \vdots \\ \mathbf{y}_{t-p+1} \end{pmatrix}_{np \times 1}, \quad \tilde{\boldsymbol{\Gamma}}_0 = \begin{pmatrix} \boldsymbol{\Gamma}_0 \\ \mathbf{0} \\ \vdots \\ \mathbf{0} \end{pmatrix}_{np \times 1}, \quad \tilde{\boldsymbol{\varepsilon}}_t = \begin{pmatrix} \boldsymbol{\varepsilon}_t \\ \mathbf{0} \\ \vdots \\ \mathbf{0} \end{pmatrix}_{np \times 1}$$

其次，定义 $np \times np$  “伴随矩阵” (companion matrix):

$$\tilde{\boldsymbol{\Gamma}} = \begin{pmatrix} \boldsymbol{\Gamma}_1 & \boldsymbol{\Gamma}_2 & \cdots & \boldsymbol{\Gamma}_p \\ \mathbf{I}_n & \mathbf{0} & \cdots & \mathbf{0} \\ \vdots & \vdots & \ddots & \vdots \\ \mathbf{0} & \mathbf{0} & \mathbf{I}_n & \mathbf{0} \end{pmatrix}_{np \times np}$$

将 VAR( $p$ )模型写为 VAR(1)的形式:

$$\tilde{\mathbf{y}}_t = \tilde{\boldsymbol{\Gamma}}_0 + \tilde{\boldsymbol{\Gamma}} \tilde{\mathbf{y}}_{t-1} + \tilde{\boldsymbol{\varepsilon}}_t$$

故 VAR( $p$ )平稳性要求伴随矩阵  $\tilde{\boldsymbol{\Gamma}}$  的所有特征值都在单位圆之内。

## 21.4 单位根所带来的问题

(1) 自回归系数的估计值向左偏向于 0。

假设对于 AR(1),  $y_t = \beta_0 + \beta_1 y_{t-1} + \varepsilon_t$ , 其中  $\beta_1 = 1$ 。

$\beta_1$  的 OLS 估计量  $\hat{\beta}_1$  不是渐近正态分布, 也不是对称分布(即使是在大样本中), 而是向左偏于 0。

由于 $\{y_t\}$ 不是平稳序列，中心极限定理不再适用。

虽然 $\operatorname{plim}_{n \rightarrow \infty} \hat{\beta}_1 = \beta_1$ ，但在有限样本下可能存在较大偏差。

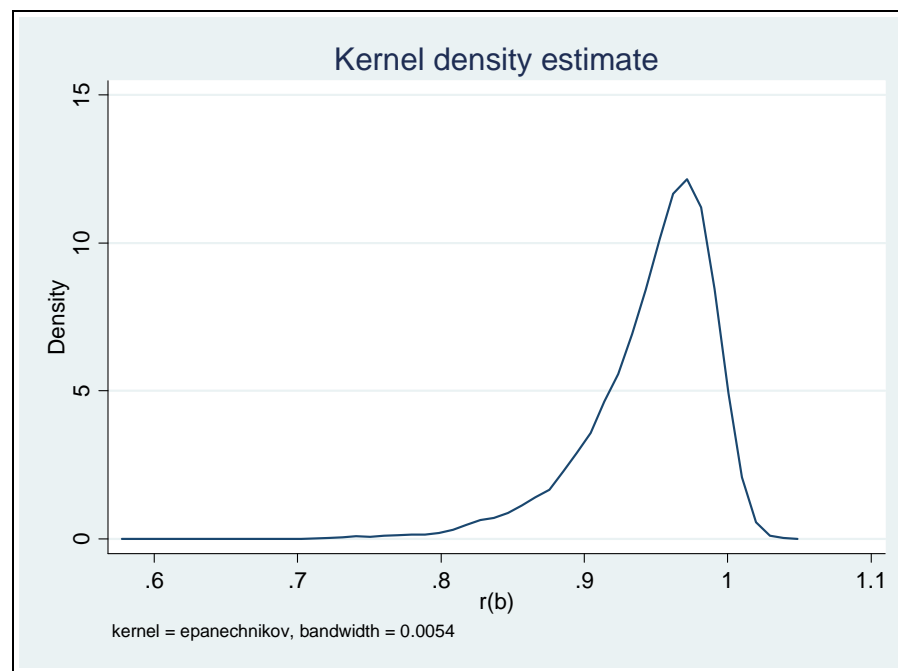


图 21.2 在单位根情况下  $\hat{\beta}_1$  的大样本分布( $n = 10,000$ )

(2) 传统的  $t$  检验失效：由于  $\hat{\beta}_1$  不是渐近正态分布， $t$  统计量也不服从渐近标准正态分布，传统的区间估计与假设检验无效。

(3) 两个相互独立的单位根变量可能出现伪回归(spurious regression)或伪相关。

假设  $y_t = y_{t-1} + u_t$ ,  $x_t = x_{t-1} + v_t$ , 其中,  $u_t, v_t$  为 iid 且相互独立。故  $y_t$  与  $x_t$  相互独立。

考虑 OLS 回归,  $y_t = \alpha + \beta x_t + \varepsilon_t$ 。由于  $y_t$  与  $x_t$  相互独立, 故真实参数  $\beta = 0$ 。

如果样本容量足够大, 则  $\hat{\beta} \approx 0$ ,  $R^2 \approx 0$ , 但实际结果并非如此, 因为扰动项  $\varepsilon_t = y_t - \alpha - \beta x_t$  非平稳。

此结论由 Granger and Newbold (1974)通过蒙特卡罗模拟发现。

## 21.5 单位根检验与平稳性检验

### 1. Dickey-Fuller 单位根检验(DF 检验)

**定义** 如果 $\{\varepsilon_t\}$ 独立同分布，期望为 0，方差有限(finite variance)，则称 $\{\varepsilon_t\}$ 为独立白噪声 (independent white noise)。

考慮 AR(1):

$$y_t = \beta_0 + \beta_1 y_{t-1} + \gamma t + \varepsilon_t$$

其中， $\gamma t$ 为时间趋势(如不含时间趋势，令 $\gamma = 0$ )； $\beta_0$ 为漂移项 (如不带漂移项，令 $\beta_0 = 0$ )； $\varepsilon_t$ 为独立白噪声。

考虑单边检验：

$$H_0 : \beta_1 = 1 \quad vs \quad H_1 : \beta_1 < 1$$

方程两边同减  $y_{t-1}$ ：

$$\Delta y_t = \beta_0 + \delta y_{t-1} + \gamma t + \varepsilon_t$$

其中， $\delta \equiv \beta_1 - 1$ 。原假设与替代假设变为

$$H_0 : \delta = 0 \quad vs \quad H_1 : \delta < 0$$

对方程作 OLS 回归，可得估计量  $\hat{\delta}$  及相应的  $t$  统计量。

---

此  $t$  统计量称为“Dickey-Fuller 统计量”(简记 DF), Stata 记为 Z(t)。

DF 统计量不服从渐近正态, 临界值须通过蒙特卡罗模拟来获得。

DF 越小(绝对值很大的负数), 则越倾向于拒绝原假设, 故 DF 检验是左边单侧检验, 即其拒绝域只在分布的最左边。

## 2. Augmented Dickey-Fuller 单位根检验(ADF 检验)

DF 检验要求扰动项  $\{\varepsilon_t\}$  为独立白噪声, 故扰动项无自相关。

如果  $\{\varepsilon_t\}$  存在自相关, 可引入更高阶的滞后项来控制。

假设选择适当滞后期  $p$ , 使 AR( $p$ ) 模型的扰动项  $\{\varepsilon_t\}$  为独立白噪声:

$$y_t = \beta_0 + \beta_1 y_{t-1} + \cdots + \beta_p y_{t-p} + \gamma t + \varepsilon_t$$

将上式转换为以下形式：

$$y_t = \beta_0 + \rho y_{t-1} + \gamma_1 \Delta y_{t-1} + \gamma_2 \Delta y_{t-2} + \cdots + \gamma_{p-1} \Delta y_{t-p+1} + \gamma t + \varepsilon_t$$

其中，系数( $\rho, \gamma_1, \gamma_2, \dots, \gamma_{p-1}$ )待定， $\{\Delta y_{t-1}, \Delta y_{t-2}, \dots, \Delta y_{t-p+1}\}$ 称为“滞后差分项”(lagged difference terms)。

去掉差分算子，合并同类项可得：

$$y_t = \beta_0 + (\rho + \gamma_1) y_{t-1} + (\gamma_2 - \gamma_1) y_{t-2} + \cdots + (\gamma_{p-1} - \gamma_{p-2}) y_{t-p+1} - \gamma_{p-1} y_{t-p} + \gamma t + \varepsilon_t$$

将两个方程的相应系数对等起来可得

$$\begin{cases} \beta_1 = \rho + \gamma_1 \\ \beta_2 = \gamma_2 - \gamma_1 \\ \vdots \\ \beta_{p-1} = \gamma_{p-1} - \gamma_{p-2} \\ \beta_p = -\gamma_{p-1} \end{cases}$$

由最后一个方程倒推上去可得

$$\begin{cases} \rho = \beta_1 + \cdots + \beta_p \\ \gamma_1 = -(\beta_2 + \cdots + \beta_p) \\ \vdots \\ \gamma_{p-2} = -(\beta_{p-1} + \beta_p) \\ \gamma_{p-1} = -\beta_p \end{cases}$$

**命题** 如果  $\rho = 1$ , 则 AR( $p$ )有一个单位根。

**证明:** 由于  $\rho = 1$ , 故  $\phi(1) = 1 - \beta_1 - \cdots - \beta_p = 1 - \rho = 0$ 。故 1 是特征方程  $\phi(z) = 1 - \beta_1 z - \cdots - \beta_p z^p = 0$  的根, 正好落在单位圆上, 故 AR( $p$ )有单位根。

**命题** 如果  $\rho > 1$ , 则特征方程至少有一个根在单位圆之内, 故 AR( $p$ )为非平稳。

**证明:** 首先,  $\phi(0) = 1 - \beta_1 \cdot 0 - \cdots - \beta_p \cdot 0 = 1$ 。

其次, 由于  $\rho > 1$ , 故  $\phi(1) = 1 - \beta_1 - \cdots - \beta_p = 1 - \rho < 0$ 。

然而  $\phi(z)$  为连续函数, 根据中值定理, 存在复数  $z^*$ , 满足  $0 < \|z^*\| < 1$ ,

使得  $\phi(z^*)=0$ , 参见图 21.4。由于  $\|z^*\|<1$ ,  $z^*$  落在单位圆之内, 故 AR( $p$ ) 为非平稳。

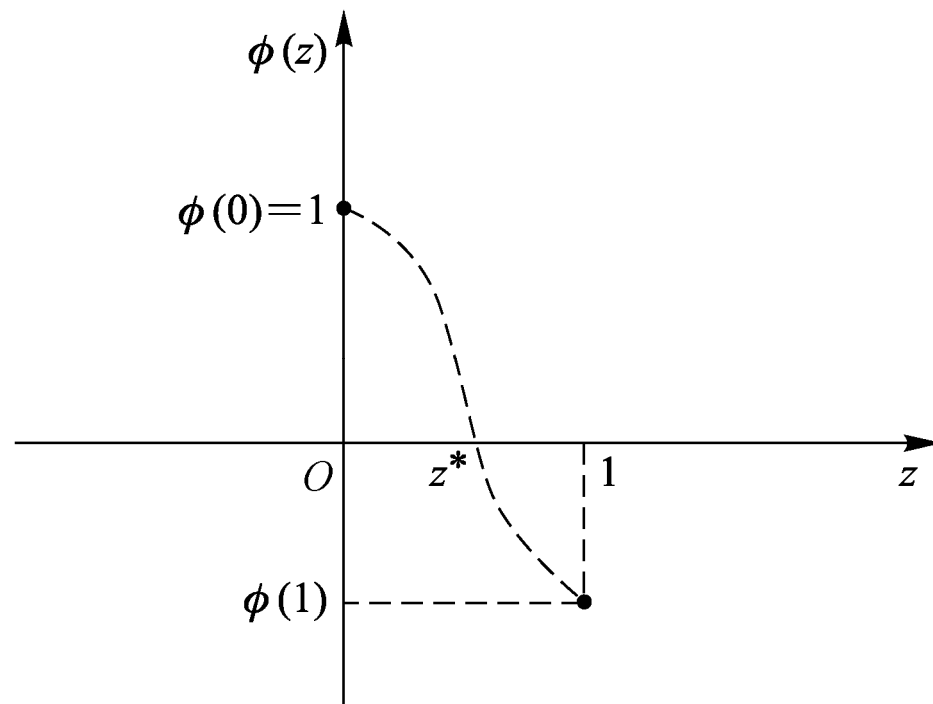


图 21.4  $\rho > 1$  时 AR( $p$ ) 的非平稳性

为检验  $\text{AR}(p)$  是否有单位根，可对方程进行回归，并检验

$$H_0 : \rho = 1 \quad vs \quad H_1 : \rho < 1$$

在方程两边同时减去  $y_{t-1}$  可得：

$$\Delta y_t = \beta_0 + \delta y_{t-1} + \gamma_1 \Delta y_{t-1} + \gamma_2 \Delta y_{t-2} + \cdots + \gamma_{p-1} \Delta y_{t-p+1} + \gamma t + \varepsilon_t$$

其中， $\delta \equiv \rho - 1$ 。则原假设与替代假设变为

$$H_0 : \delta = 0 \quad vs \quad H_1 : \delta < 0$$

对方程使用 OLS 可得估计量  $\hat{\delta}$  及相应的  $t$  统计量。

此  $t$  统计量称为“Augmented Dickey-Fuller 统计量”(简记 ADF)。

ADF 检验也是左边单侧检验，其拒绝域只在分布的最左边。

ADF 统计量的临界值也要通过蒙特卡罗模拟得到。

ADF 统计量的临界值取决于真实模型( $H_0$ )是否带漂移项，以及回归方程是否包含常数项或时间趋势。

## 关于常数项与时间趋势项

是否应带常数项或时间趋势项，主要从理论上考虑。

比如，考察 GDP 之对数是否有单位根，一般应包含时间趋势项；而利率、汇率等则不应有时间趋势项。

也可通过画变量的时间序列图来大致判断有无长期增长趋势。

在作 ADF 检验时，使用选择项 “regress”，可看到常数项或时间趋势项是否显著。

如无从判断，可把各种情况都检验，将结果以( $c, t, p$ )格式列表，其中“ $c = 1$ ”表示带常数项，“ $c = 0$ ”表示不带常数项；“ $t = 1$ ”表示带趋势项，“ $t = 0$ ”表示不带趋势项； $p$  表示滞后期数。

## 关于滞后阶数 $p$ 的确定

ADF 检验的结果常对滞后阶数  $p$  敏感。如果  $p$  太小，则扰动项  $\{\varepsilon_t\}$  可能存在自相关，使检验出现偏差。

如果  $p$  太大，则会降低检验的功效(power)。

Schwert (1989)建议  $p_{\max} = \lceil 12 \cdot (T/100)^{1/4} \rceil$ ，其中  $T$  为样本容量， $\lceil \cdot \rceil$  表示整数部分，然后使用由大到小的序贯  $t$  规则。

也可使用信息准则，比如 AIC 或 BIC。

### 3. Phillips-Perron 单位根检验(PP 检验)

ADF 检验通过引入高阶滞后项来保证扰动项  $\{\varepsilon_t\}$  没有自相关。

“Phillips-Perron 检验”(Phillips and Perron, 1988, 简记 PP)仍使用一阶自回归，但使用异方差自相关稳健的标准误修正 DF 统计量：

$$y_t = \beta_0 + \rho y_{t-1} + \gamma t + \varepsilon_t$$

其中， $\{\varepsilon_t\}$ 可以存在异方差或自相关。

经修正的  $Z(t)$  统计量，其渐近分布与 DF 统计量相同，故临界值也相同，也是左边单侧检验。

Phillips and Perron (1988) 还提供了另一检验统计量  $Z(\rho)$ 。

使用 PP 检验须指定用于计算 Newey-West 标准误的滞后阶数 (Newey-West lags)。

Stata 默认的 Newey-West 滞后阶数为  $\lceil 4(T/100)^{2/9} \rceil$ ，其中  $T$  为样本容量， $\lceil \cdot \rceil$  表示取整数。

金融变量常存在异方差与自相关，PP 检验在金融数据中应用多。

PP 检验的另一优点是，不必指定差分滞后项的滞后阶数。

#### 4. DF-GLS 单位根检验

ADF 检验与 PP 检验的共同缺点是，检验功效较低(犯第 II 类错误的概率很大)，尤其当样本容量不大，或真实模型接近于单位根的情形。

Elliot, Rothenberg and Stock (1996)提出以下的两步检验。

第一步，用 GLS 估计原序列 $\{y_t\}$ 的常数项与时间趋势项 $\hat{\delta}_0 + \hat{\delta}_1 t$ ，

计算去势后(detrended)的序列 $\{y_t^d \equiv y_t - \hat{\delta}_0 - \hat{\delta}_1 t\}$ 。

第二步，对 $\{y_t^d\}$ 使用 ADF 检验。

此检验称为“DF-GLS 检验”，是目前最有效的单位根检验。

## 5. KPSS 平稳性检验

Kwiatkowski, Phillips, Schmidt and Shin (1992)提出平稳性检验(KPSS)将原假设改为“ $H_0$ :时间序列为平稳”，而替代假设变为“ $H_1$ :有单位根”。

假设时间序列  $y_t$  可分解为时间趋势、随机游走与平稳过程之和：

$$y_t = \beta t + u_t + \varepsilon_t$$

$$u_t = u_{t-1} + v_t, \quad v_t \sim WN(0, \sigma_v^2)$$

其中， $\beta t$  为时间趋势， $u_t$  是随机游走， $\varepsilon_t$  为平稳过程(允许存在异方差与自相关)； $v_t$  为白噪声，其方差为  $\sigma_v^2$ 。

“ $y_t$  为趋势平稳” (trend stationary) 的原假设等价于 “ $H_0 : \sigma_v^2 = 0$ ” (即  $v_t \equiv 0$ ，故  $u_t$  为常数)，而替代假设为 “ $H_1 : \sigma_v^2 > 0$ ”。

如不含时间趋势 ( $\beta = 0$ )，则原假设为 “ $y_t$  为平稳过程” (level stationary)。

对此原假设进行 LM 检验，可得 KPSS 统计量。

KPSS 检验是单边右侧检验，其临界值须通过蒙特卡罗模拟得到。

## 6. 单整阶数(order of integration)的确定

进行单位根检验后，如认为  $\{y_t\}$  非平稳，要进一步判断其为 I(1) 或 I(2)。

对一阶差分  $\{\Delta y_t\}$  进行单位根检验，如  $\{\Delta y_t\}$  为平稳，则  $\{y_t\}$  是 I(1)。

否则，继续对二阶差分  $\{\Delta^2 y_t\}$  进行单位根检验。如  $\{\Delta^2 y_t\}$  平稳，则  $\{y_t\}$  为 I(2)，以此类推。

## 21.6 单位根检验的 Stata 实例

## 21.7 面板单位根检验

如样本容量较小，对单个变量进行单位根检验的功效可能很弱。

如有面板数据，可找到更有效的检验方法。

例 同时检验多个国家的实际汇率是否含有单位根。

面板单位根检验，可通过 Stata 命令 `xtunitroot` 来实现。

为检验 $\{y_{it}\}$ 是否包含单位根，考虑如下面板自回归模型：

$$y_{it} = \rho_i y_{i,t-1} + z'_{it} \gamma_i + \varepsilon_{it}$$

其中， $i = 1, \dots, n$  为横截面单位， $t = 1, \dots, T_i$  为时间。

根据命令 `xtunitroot` 的默认设置， $z'_{it} \gamma_i$  表示个体固定效应(即  $z_{it} = 1$ )；如果加上选择项“`trend`”，则  $z'_{it} \gamma_i$  表示个体固定效应与时间趋势，即  $z'_{it} = (1, t)$ ；如果加上选择项“`noconstant`”，则忽略  $z'_{it} \gamma_i$ 。

下文的 IPS 检验、费雪式检验与 Hadri LM 检验允许非平衡面板；其他检验则要求平衡面板，即  $T_i = T, \forall i$ 。

面板单位根检验的原假设为“ $H_0: \rho_i = 1, \forall i$ ”，而替代假设为“ $H_1: \rho_i < 1$ ”。方程可写为等价形式：

$$\Delta y_{it} = \delta_i y_{i,t-1} + z'_{it} \gamma_i + \varepsilon_{it}$$

其中， $\delta_i \equiv \rho_i - 1$ 。相应的原假设与替代假设变为

$$H_0: \delta_i = 0, \forall i \quad vs \quad H_1: \delta_i < 0$$

有些面板单位根检验(LLC 检验、HT 检验与 Breitung 检验)，假设各面板单位的自回归系数均相同，称为“共同根”(common root)，即  $\rho_i = \rho, \forall i$ 。

其他检验则允许各面板单位的自回归系数不同。

为导出统计量的大样本分布，这些检验对于横截面维度  $n$  或时间维度  $T$  是否固定，或趋于无穷的速度所作的渐近假定不尽相同。

例 基于 $n/T \rightarrow 0$ 的检验，要求时间维度  $T$  增长速度快于横截面维度  $n$ ，故适用于长面板。

例 基于  $T$  固定而  $n \rightarrow \infty$  的检验适用于短面板。

Stata 手册将这些检验分类总结如表 21.2:

表 21.2 面板单位根检验的特征

检验	Stata 选择项	适用的渐近理论	允许不同的自回归系数	允许非平衡面板
LLC	noconstant	$\sqrt{n}/T \rightarrow 0$	否	否
LLC		$n/T \rightarrow 0$	否	否
LLC	trend	$n/T \rightarrow 0$	否	否
HT	noconstant	$n \rightarrow \infty, T$ 固定	否	否
HT		$n \rightarrow \infty, T$ 固定	否	否
HT	trend	$n \rightarrow \infty, T$ 固定	否	否
Breitung	noconstant	$(T, n) \rightarrow_{\text{seq}} \infty$	否	否
Breitung		$(T, n) \rightarrow_{\text{seq}} \infty$	否	否
Breitung	trend	$(T, n) \rightarrow_{\text{seq}} \infty$	否	否

IPS		$n \rightarrow \infty, T$ 固定; 或 $n, T$ 都固定	是	是
IPS	trend	$n \rightarrow \infty, T$ 固定; 或 $n, T$ 都固定	是	是
IPS	lags( )	$(T, n) \rightarrow_{\text{seq}} \infty$	是	是
IPS	trend lags( )	$(T, n) \rightarrow_{\text{seq}} \infty$	是	是
费雪式		$T \rightarrow \infty,$ $n$ 有限或趋无穷	是	是
Hadri LM		$(T, n) \rightarrow_{\text{seq}} \infty$	-	否
Hadri LM	trend	$(T, n) \rightarrow_{\text{seq}} \infty$	-	否

其中,  $(T, n) \rightarrow_{\text{seq}} \infty$  表示“序贯极限”(sequential limit), 即首先给定  $n$ , 让  $T \rightarrow \infty$ , 然后再让  $n \rightarrow \infty$ 。实践中, 这要求  $T$  较大(large), 而且  $n$  也不能太小(at least moderate)。

由于 Hadri LM 检验为面板平稳性检验(原假设为平稳过程), 故不存在是否“允许不同的自回归系数”的问题。

## 1. LLC 检验

由于扰动项可能存在自相关, Levin, Lin and Chu (2002)(简记 LLC)引入高阶差分滞后项:

$$\Delta y_{it} = \delta y_{i,t-1} + z'_{it}\gamma_i + \sum_{j=1}^{p_i} \theta_{ij} \Delta y_{i,t-j} + \varepsilon_{it}$$

其中， $\delta$  为共同的自回归系数(共同根)；

不同个体的滞后阶数  $p_i$  可以不同；

$\{\varepsilon_{it}\}$  为平稳的 ARMA 过程；

不同个体的  $\varepsilon_{it}$  相互独立(不存在截面相关)，但允许异方差。

引入足够高阶的差分滞后项，可保证  $\varepsilon_{it}$  为白噪声。

由于此方程为动态面板，如直接进行 OLS 回归，估计量  $\hat{\delta}$  及  $t$  统计量将存在动态偏差，且不服从渐近正态。

Levin, Lin and Chu (2002) 提出“偏差校正  $t$  统计量”(bias-adjusted  $t$  statistic), 记为  $t_{\delta}^*$ , 在大样本下服从标准正态分布。

与 ADF 检验类似, LLC 检验也是左边单侧检验, 即拒绝域仅在分布的最左边。

LLC 检验假设不存在截面相关。

如果此假设不成立, 则 LLC 检验将存在“显著性水平扭曲”。

为了缓解可能存在的截面相关, 建议先将面板数据减去各截面单位的均值(cross-sectional means), 再进行 LLC 检验。

## 2. HT 检验

LLC检验仅适用长面板，而许多微观面板数据的时间维度 $T$ 较小。

Harris and Tzavalis (1999) (简记HT)提出了基于 $T$ 固定而 $n \rightarrow \infty$ 的检验。令方程中的自回归系数均相等可得：

$$y_{it} = \rho y_{i,t-1} + z'_{it}\gamma_i + \varepsilon_{it}$$

其中， $\rho$ 为共同根； $\varepsilon_{it}$ 服从 iid 正态分布，故为同方差。

在 $H_0: \rho = 1$ 成立的情况下，Harris and Tzavalis (1999)导出 OLS 估计量 $\hat{\rho}$ 的期望 $\mu$ 与方差 $\sigma^2$ 的表达式(为 $T$ 的函数)，并证明当 $T$ 固定

而  $n \rightarrow \infty$  时， $z \equiv \frac{\hat{\rho} - \mu}{\sqrt{\sigma^2/n}} \xrightarrow{d} N(0, 1)$ 。

基于此大样本分布，然后进行左边单侧检验。

### . Breitung 检验

Breitung 检验(Breitung 2000)的基本思路与 LLC 检验类似。

主要区别在于，首先对数据进行“向前正交变换”(forward orthogonalization)，即减去未来各期的平均值，再进行回归，使得回归后不再需要偏差校正。

所得检验统计量记为 $\lambda$ ，服从渐近标准正态分布，然后进行左边单侧检验。

Breitung 检验假设数据生成过程为 AR(1)。

如果存在更高阶的自回归项，应先进行“预白噪声化”(prewhitening)，以消除原序列的自相关，即分别把 $\Delta y_{it}$ 与 $y_{i,t-1}$ 对 $(\Delta y_{i,t-1}, \dots, \Delta y_{i,t-p})$ 进行回归，然后以这两个回归的残差来替代 $\Delta y_{it}$ 与 $y_{i,t-1}$ 进行 Breitung 检验。

Breitung (2000) 假设不同个体的扰动项不存在截面相关，而

Breitung and Das (2005)则提出在截面相关情况下也成立的检验。

#### 4. IPS 检验

LLC 检验、HT 检验与 Breitung 检验的共同局限在于，它要求每位个体的自回归系数 $\delta$ 都相等，此共同根假设在实践中可能过强。

Im, Pesaran and Shin (2003)(简记 IPS)假设面板数据中共有  $n$  个相互独立的个体，对每位个体分别进行如下 DF 式回归：

$$\Delta y_{it} = \delta_i y_{i,t-1} + z'_{it} \gamma_i + \varepsilon_{it}$$

其中， $\delta_i$ 为个体  $i$  的自回归系数； $\varepsilon_{it}$ 服从相互独立的正态分布(扰

动项无自相关), 但允许异方差。

假设  $T$  固定, 而  $n \rightarrow \infty$  或固定。

面板单位根的原假设为 “ $H_0 : \delta_i = 0, \forall i$ ”。

替代假设为 “服从平稳过程的个体比例大于零”, 即当  $n \rightarrow \infty$  时,  $n_1/n$  收敛至某非零正数, 其中  $n_1$  为服从平稳过程的个体数。

记个体  $i$  的  $t$  统计量(即 ADF 统计量)为  $t_i$ , 计算所有个体  $t$  统计量的样本均值  $\bar{t} \equiv \frac{1}{n} \sum_{i=1}^n t_i$  (Stata 称为 t-bar)。

Im, Pesaran and Shin (2003)给出了  $\bar{t}$  分布的临界值。

Stata 还汇报另一统计量  $\bar{t}$  (Stata 称为 t-tilde-bar), 它与  $\bar{t}$  的区别仅在对扰动项的方差估计量不同。

将  $\bar{t}$  标准化, 构造如下统计量  $Z_{\bar{t}}$  (Stata 称为 Z-t-tilde-bar):

$$Z_{\bar{t}} \equiv \frac{\bar{t} - E(\bar{t})}{\sqrt{\text{Var}(\bar{t})/n}} \xrightarrow{d} N(0,1)$$

其中,  $E(\bar{t})$  与  $\text{Var}(\bar{t})$  为  $\bar{t}$  的理论均值与方差, 可通过查表获得。

由于假设这  $n$  个时间序列相互独立, 故适用中心极限定理, 因此  $Z_{\bar{t}}$  的渐近分布为标准正态。

IPS 检验也是左边单侧检验。

如果扰动项  $\varepsilon_{it}$  存在自相关，可引入差分滞后项来消除，即对每位个体分别进行如下 ADF 式回归：

$$\Delta y_{it} = \delta_i y_{i,t-1} + z'_{it} \gamma_i + \sum_{j=1}^{p_i} \theta_{ij} \Delta y_{i,t-j} + \varepsilon_{it}$$

其中，不同个体的滞后阶数  $p_i$  可以不同(可通过信息准则来确定)，且假设  $(T, n) \rightarrow_{\text{seq}} \infty$ 。其余检验步骤与扰动项无自相关的情形类似，记其统计量为  $W_{\bar{t}}$  (Stata 称为 W-t-bar)，对应于上文的  $Z_{\bar{t}}$  统计量。

## 5. 费雪式检验

费雪式检验的大思路类似于 IPS 检验，即对每位个体分别进行检验，然后再将这些信息综合起来。

对面板数据中的每位个体分别进行单位根检验 (ADF 检验或 PP 检验)，得到  $n$  个检验统计量及相应的  $p$  值  $\{p_1, \dots, p_n\}$ 。

Choi (2001) 提出以下四种方法将这些  $p$  值综合成“费雪式”(Fisher type)统计量。

方法一为“逆卡方变换”(inverse chi-squared transformation):

$$P \equiv -2 \sum_{i=1}^n \ln p_i \xrightarrow{d} \chi^2(2n) \quad (T_i \rightarrow \infty)$$

其中,  $T_i$  为个体  $i$  的时间维度(因个体而异, 允许非平衡面板)。由于取负号, 故是单边右侧检验, 即统计量  $P$  越大, 则越倾向于拒绝“面板单位根”的原假设。

方法二为“逆正态变换”(inverse normal transformation):

$$Z \equiv \frac{1}{\sqrt{n}} \sum_{i=1}^n \Phi^{-1}(p_i) \xrightarrow{d} N(0, 1) \quad (T_i \rightarrow \infty)$$

---

其中， $\Phi^{-1}(\cdot)$ 为标准正态累积分布函数的逆函数，故名。如果使用方法二，则为单边左侧检验。

方法三为“逆逻辑变换”(inverse logit transformation):

$$L^* \equiv \sqrt{k} \sum_{i=1}^n \ln\left(\frac{p_i}{1-p_i}\right) \xrightarrow{d} t(5n+4) \quad (T_i \rightarrow \infty)$$

其中， $k \equiv \frac{3(5n+4)}{\pi^2 n(5n+2)}$ 。方法三也是单边左侧检验。

如果面板中的个体数  $n$  很大，可使用“修正逆卡方变换”(modified

inverse chi-squared transformation):

$$P_m \equiv -\frac{1}{\sqrt{n}} \sum_{i=1}^n (\ln p_i + 1) \xrightarrow{d} N(0, 1) \quad (T_i, n \rightarrow \infty)$$

## 6. Hadri LM 检验

Hadri (2000)把 KPSS 平稳性检验推广到面板数据，提出了检验面板平稳性的 LM 检验(原假设为平稳过程)。

考虑以下面板形式的 KPSS 检验模型:

$$y_{it} = \beta_i t + u_{it} + \varepsilon_{it}$$

$$u_{it} = u_{i,t-1} + v_{it}$$

其中， $\beta_i t$ 为个体  $i$  的时间趋势(panel-specific time trend)，而扰动项  $\varepsilon_{it}$  与  $v_{it}$  均服从 iid 正态分布，方差分别为  $\sigma_\varepsilon^2$  与  $\sigma_v^2$ 。

面板平稳性的原假设等价于 “ $H_0 : \lambda = \frac{\sigma_v^2}{\sigma_\varepsilon^2} = 0$ ”，而替代假设为 “ $H_1 : \lambda > 0$ ”。

## 21.8 协整的思想与初步检验

对于有单位根的变量，传统的处理方法是进行一阶差分。

但一阶差分后变量的经济含义与原序列并不相同。

如果多个单位根变量之间由于某种经济力量而存在“长期均衡关系”(long-run equilibrium)，则有可能进行这种回归。

基本思想：如果多个单位根序列有“共同的随机趋势”(common stochastic trend)，则可对这些变量作线性组合而消去此随机趋势。

**例** 短期利率与长期利率可能都是单位根过程，而二者的走势也很相似。从经济理论上来看，长期利率是未来预期短期利率的平均值与“风险溢价”(risk premium)之和，故存在长期均衡关系。

**例 (非正式)** 当你遛狗时，假设你与狗的每一步位置为随机游走过程(带漂移项)，故均为单位根过程。由于你与狗之间有一根皮带相连(“长期均衡关系”), 故你与狗的位置之间不会相离太远(尽管二者都是单位根过程)。

假设两个 I(1)过程 $\{y_t\}, \{x_t\}$ 可以分别表示为

$$\begin{cases} y_t = \alpha + \beta w_t + \varepsilon_t \\ x_t = \gamma + \delta w_t + u_t \end{cases}$$

---

其中， $w_t$ 为随机游走， $w_t = w_{t-1} + v_t$ ；而 $\varepsilon_t, u_t, v_t$ 均为白噪声。

由于 $\{y_t\}$ 与 $\{x_t\}$ 有共同随机趋势 $w_t$ ，故二者的如下线性组合为平稳过程：

$$\delta y_t - \beta x_t = (\alpha\delta - \beta\gamma) + (\delta\varepsilon_t - \beta u_t)$$

在这种情况下，称 $\{y_t\}$ 与 $\{x_t\}$ 是“协整的”(cointegrated)，而称向量 $(\delta, -\beta)$ 为“协整向量”(cointegrating vector)或“协整系数”。

可以把 $(\delta, -\beta)$ 标准化为 $(1, -\beta/\delta)$ 。

对于两个 I(1)变量，只可能存在一个协整关系。

对于  $n$  个 I(1) 变量，则最多可能存在  $(n-1)$  个协整关系。

一组 I(1) 变量之间协整关系的个数称为“协整秩”(cointegration rank)，即线性无关的协整向量的个数。

如何判断一组 I(1) 变量间是否存在协整关系呢？

首先，这些变量必须在理论上可能存在长期均衡关系。

其次，如果只有两个变量，则可以直接画图，但不严格。

Engle and Granger (1987) 提出如下的“EG-ADF 检验”。

原假设为  $\{y_t, x_t\}$  存在协整关系，且协整系数为  $\{1, -\theta\}$ ，则  $\{z_t \equiv y_t - \theta x_t\}$  为平稳过程。

如果  $\theta$  已知，可用 ADF 检验来确定  $\{z_t\}$  是否平稳。

如果接受 “ $\{z_t\}$  为平稳”，则认为  $\{y_t, x_t\}$  存在协整关系。

通常并不知道  $\theta$ ，故 “EG-ADF 方法” 分两步进行。

**第一步** 用 OLS 估计协整系数  $\theta$ ，即  $y_t = \phi + \theta x_t + z_t$ 。

在 “ $\{y_t, x_t\}$  存在协整关系”的原假设下，虽然  $\{y_t, x_t\}$  非平稳，但  $\{z_t\}$  为平稳过程，OLS 的估计量  $\hat{\phi}$  与  $\hat{\theta}$  都是一致估计量。

**第二步** 对残差序列  $\{\hat{z}_t \equiv y_t - \hat{\phi} - \hat{\theta} x_t\}$  进行 ADF 检验，确定其是否平稳。

由于协整系数  $\hat{\theta}$  是估计出来的，不一定是真实的协整系数，故 EG-ADF 统计量的临界值与普通的 ADF 检验不同，参见 Hayashi (2000, p. 646) 或 Stock and Watson (2004, p. 557)。

如果检验结果认为  $\{\hat{z}_t\}$  平稳，则接受“ $\{y_t, x_t\}$  存在协整关系”的原假设。

协整关系 “ $y_t = \hat{\phi} + \hat{\theta}x_t$ ” 为  $\{y_t, x_t\}$  之间的长期均衡关系。

EG-ADF 方法的缺点是，不能处理同时存在多个协整关系的情形。

由于 EG-ADF 方法分两步进行，第一步估计的误差会被带到第二步中，故不是最有效率的方法。

更有效率的方法是 MLE，同时估计长期与短期参数。

## 21.9 Beveridge-Nelson 分解公式

定义 称时间序列 $\{y_t\}$ 为“线性 I(0)过程”，如果  $y_t = \delta + u_t$ ，其中  $\delta$  为常数， $u_t = \psi(L)\varepsilon_t$ ， $\{\varepsilon_t\}$  为独立白噪声，滤波  $\psi(L) \equiv \psi_0 + \psi_1 L + \psi_2 L^2 + \dots$ ，满足  $\sum_{j=0}^{\infty} j |\psi_j| < \infty$ (称为“一可加总”，one-summable，简记为 OS)， $\psi(1) = \psi_0 + \psi_1 + \psi_2 + \dots \neq 0$ 。

OS 比 AS(绝对值可加总)的假定更强，前者是后者的充分条件。“ $\psi(1) \neq 0$ ”是一个技术性条件，防止出现退化情形。

本章下面讨论的 I(0)皆为线性 I(0)过程。

假设序列 $\{y_t\}$ 为 I(1)，则其差分为 I(0)，故可表示为 $\Delta y_t = \delta + u_t$ ，其中 $u_t$ 为线性 I(0)过程。

假设时间从 $t=0$ 开始，则 $y_1 = y_0 + \delta + u_1$ ，

$$y_2 = \delta + \underbrace{y_0 + \delta + u_1}_{= y_1} + u_2 = y_0 + 2\delta + u_1 + u_2, \dots, y_t = y_0 + \delta t + \sum_{s=1}^t u_s.$$

由于 $u_t$ 为线性 I(0)过程，故可写为 $u_t = \psi(L)\varepsilon_t$ ，其中

$$\psi(L) = \psi_0 + \psi_1 L + \psi_2 L^2 + \dots$$

将滤波 $\psi(L)$ 分解为

$$\begin{aligned}\psi(L) &= \psi_0 + \psi_1 L + \psi_2 L^2 + \dots \\ &= (\psi_0 + \psi_1 + \psi_2 + \dots) + (\psi_1 L - \psi_1) + (\psi_2 L^2 - \psi_2) + (\psi_3 L^3 - \psi_3) + \dots\end{aligned}$$

$$\begin{aligned}
&= \psi(1) + \left[ -\psi_1(1-L) - \psi_2(1-L^2) - \psi_3(1-L^3) - \dots \right] \\
&= \psi(1) + (1-L) \left[ -\psi_1 - \psi_2(1+L) - \psi_3(1+L+L^2) - \dots \right] \\
&= \psi(1) + (1-L) \left[ -(\psi_1 + \psi_2 + \dots) - (\psi_2 + \psi_3 + \dots)L - (\psi_3 + \psi_4 + \dots)L^2 - \dots \right] \\
&= \psi(1) + (1-L) \left[ \alpha_0 + \alpha_1 L + \alpha_2 L^2 + \dots \right],
\end{aligned}$$

其中  $\alpha_j \equiv -(\psi_{j+1} + \psi_{j+2} + \dots) = \psi(1) + (1-L)\alpha(L)$ ，  
而  $\alpha(L) \equiv \alpha_0 + \alpha_1 L + \alpha_2 L^2 + \dots$ 。

由于  $\psi(L)$  为 OS，可证明  $\alpha(L)$  为 AS。

定义  $\eta_t \equiv \alpha(L)\varepsilon_t$ 。由于  $\alpha(L)$  为 AS，故  $\eta_t$  为平稳过程。因此，

$$u_t = \psi(L)\varepsilon_t = [\psi(1) + (1-L)\alpha(L)]\varepsilon_t = \psi(1)\varepsilon_t + (1-L)\eta_t = \psi(1)\varepsilon_t + \eta_t - \eta_{t-1}$$

$$y_t = y_0 + \delta t + \sum_{s=1}^t u_s = \underbrace{\delta t}_{\text{time trend}} + \underbrace{\psi(1) \sum_{s=1}^t \varepsilon_s}_{\text{random walk}} + \underbrace{\eta_t}_{\text{stationary}} + \underbrace{(y_0 - \eta_0)}_{\text{initial condition}}$$

“Beveridge-Nelson 分解公式” 将 I(1)过程分解为时间趋势  $\delta t$ 、随机游走  $\psi(1) \sum_{s=1}^t \varepsilon_s$ 、平稳序列  $\eta_t$  及初始条件  $(y_0 - \eta_0)$  之和。

**定义** 称  $\{y_t\}$  为  $n$  维线性向量 I(0) 过程，如果  $y_t = \boldsymbol{\delta} + \mathbf{u}_t$ ，其中  $\boldsymbol{\delta}$  为常数向量， $\mathbf{u}_t = \boldsymbol{\psi}(L)\boldsymbol{\varepsilon}_t$ ，多维滤波  $\boldsymbol{\psi}(L) \equiv \mathbf{I}_n + \boldsymbol{\psi}_1 L + \boldsymbol{\psi}_2 L^2 + \dots$ ， $\{\boldsymbol{\varepsilon}_t\}$  为独立同分布的， $E(\boldsymbol{\varepsilon}_t) = \mathbf{0}$ ， $E(\boldsymbol{\varepsilon}_t \boldsymbol{\varepsilon}_t')$  为正定矩阵， $\{\boldsymbol{\psi}_j\}$  为 OS(即矩阵的每个元素均为 OS)，而且  $\boldsymbol{\psi}(1) = \mathbf{I}_n + \boldsymbol{\psi}_1 + \boldsymbol{\psi}_2 + \dots \neq \mathbf{0}_{n \times n}$ 。

因此，可将  $n$  维向量 I(1) 过程  $y_t$  表示为

$$\Delta \mathbf{y}_t = \boldsymbol{\delta} + \mathbf{u}_t = \boldsymbol{\delta} + \boldsymbol{\psi}(L) \boldsymbol{\varepsilon}_t$$

这称为I(1)系统的“向量移动平均表示法”(VMA Representation)。将其写成绝对水平的形式：

$$\mathbf{y}_t = \mathbf{y}_0 + \boldsymbol{\delta}t + \sum_{s=1}^t \mathbf{u}_s$$

故有向量形式的 Beveridge-Nelson 分解公式：

$$\mathbf{y}_t = \underbrace{\boldsymbol{\delta}t}_{\text{time trend}} + \underbrace{\boldsymbol{\psi}(1) \sum_{s=1}^t \boldsymbol{\varepsilon}_s}_{\text{random walk}} + \underbrace{\boldsymbol{\eta}_t}_{\text{stationary}} + \underbrace{(\mathbf{y}_0 - \boldsymbol{\eta}_0)}_{\text{initial condition}}$$

## 21.10 协整的定义与最大似然估计

一般地，由于随机趋势项  $\psi(1) \sum_{s=1}^t \boldsymbol{\varepsilon}_s$ ，上述 I(1) 系统  $\{y_t\}$  非平稳。

如果在方程两边同乘某  $1 \times n$  的非零行向量  $\mathbf{a}'$ ，则可能将此随机趋势项消去：

$$\mathbf{a}' y_t = \mathbf{a}' \delta t + \mathbf{a}' \psi(1) \sum_{s=1}^t \boldsymbol{\varepsilon}_s + \mathbf{a}' \boldsymbol{\eta}_t + \mathbf{a}' (y_0 - \boldsymbol{\eta}_0)$$

如果  $\underbrace{\mathbf{a}' \psi(1)}_{1 \times n} = \underbrace{\mathbf{0}'}_{n \times n}$ ，则上式可简化为

$$\mathbf{a}' y_t = \mathbf{a}' \delta t + \mathbf{a}' \boldsymbol{\eta}_t + \mathbf{a}' (y_0 - \boldsymbol{\eta}_0)$$

$\{\mathbf{a}'\mathbf{y}_t\}$ 是趋势平稳(trend stationary)的过程, 即只要将时间趋势项 $\mathbf{a}'\delta t$ 去掉, 就是平稳过程。

此时, 称 $\mathbf{y}_t$ 是“协整的”(cointegrated), 而称 $\mathbf{a}$ 为“协整向量”(cointegrating vector)。

是否存在 $n$ 维非零列向量 $\mathbf{a}$ , 使得 $\mathbf{a}'\boldsymbol{\psi}(1) = \mathbf{0}'$ , 即 $\boldsymbol{\psi}(1)' \mathbf{a} = \mathbf{0}$ ?

考虑关于 $\mathbf{a}$ 的 $n$ 元方程组 $\boldsymbol{\psi}(1)' \mathbf{a} = \mathbf{0}$ , 称其线性无关解的个数为 $\{\mathbf{y}_t\}$ 的“协整秩”(cointegration rank), 即线性无关的协整向量的个数, 记为 $h$ 。

根据线性代数知识,  $h = n - \text{rank}[\boldsymbol{\psi}(1)]$ 。由于 $1 \leq \text{rank}[\boldsymbol{\psi}(1)] \leq n$ , 故 $0 \leq h \leq n - 1$ 。

如果  $h = 0$ , 则不存在协整关系。

如果  $h = 1$ , 则存在一个协整关系, 可解释为长期均衡关系(long-run equilibrium)。

如果  $h > 1$ , 则存在多个协整关系, 通常需用经济理论来剔除不合理的协整向量, 而将最合理的协整向量解释为长期均衡关系。

不失一般性, 假设协整向量  $\alpha$  的第一个分量不为 0, 并将其标准化为 1, 即  $\alpha = \begin{pmatrix} 1 \\ \underbrace{-\gamma}_{(n-1) \times 1} \end{pmatrix}$ 。将  $y_t$  也同样地分块, 即  $y_t = \begin{pmatrix} y_{1t} \\ \underbrace{y_{2t}}_{(n-1) \times 1} \end{pmatrix}$ 。

假设  $\alpha' \delta = 0$ (不存在时间趋势项), 可将方程写成

$$y_{1t} = \alpha + \gamma' y_{2t} + z_t$$

其中， $\alpha \equiv (1 - \gamma')(y_0 - \eta_0)$  为初始条件，可视为截距项；而  $z_t \equiv (1 - \gamma')\eta_t$  为平稳过程，可视为扰动项。此回归称为“协整回归”(cointegrating regression)。

在  $y_t$  存在协整关系的前提下，OLS 估计是一致的。

以上为 I(1) 系统的 VMA 表示法。由于扰动项不可观测，为进行 MLE 估计，考虑以下的“向量自回归表示法”(VAR Representation)：

$$\mathbf{y}_t = \alpha + \delta t + \Phi_1 \mathbf{y}_{t-1} + \Phi_2 \mathbf{y}_{t-2} + \cdots + \Phi_p \mathbf{y}_{t-p} + \boldsymbol{\varepsilon}_t$$

此 VAR( $p$ ) 何时为协整系统呢？先导出其对应的 VMA 表示法。

定义  $\Phi(L) \equiv I_n - \Phi_1 L - \Phi_2 L^2 - \cdots - \Phi_p L^p$ , 则

$$\Phi(L)y_t = \alpha + \delta t + \varepsilon_t$$

在方程两边左乘  $\Phi(L)^{-1}$  可得

$$y_t = \Phi(L)^{-1}\alpha + \Phi(L)^{-1}\delta t + \Phi(L)^{-1}\varepsilon_t$$

对方程两边差分可得

$$\Delta y_t = \Phi(L)^{-1}\delta(1-L)t + \Phi(L)^{-1}(1-L)\varepsilon_t = \delta^* + \psi(L)\varepsilon_t$$

其中,  $(1-L)t = t - (t-1) = 1$ ,  $\delta^* \equiv \Phi(1)^{-1}\delta$ ,  $\psi(L) \equiv \Phi(L)^{-1}(1-L)$ 。

如果此 VAR 系统为协整秩为  $h$  的协整系统, 则  $\psi(L)$  必须为 OS,

且  $\text{rank}[\psi(1)] = n - h$ 。

由于  $\psi(L) \equiv \Phi(L)^{-1}(1 - L)$ , 故  $\Phi(L)\psi(L) = (1 - L)\mathbf{I}_n$ 。令  $L = 1$ , 则有

$$\Phi(1)_{n \times n} \psi(1)_{n \times n} = \mathbf{0}_{n \times n}$$

可以证明, 如果  $\{y_t\}$  的协整秩为  $h$ , 则  $\text{rank}[\Phi(1)] = h$ 。根据线性代数知识, 可以将  $\Phi(1)$  分解为

$$\Phi(1)_{n \times n} = \mathbf{B}_{n \times h} (A')_{h \times n}$$

其中,  $\mathbf{B}, A$  为两个  $n \times h$  的满列秩矩阵 ( $\mathbf{B}, A$  不唯一)。此条件称为“降秩条件” (reduced rank condition)。因此,

$$\boldsymbol{B}_{n \times h} (\boldsymbol{A}')_{h \times n} \boldsymbol{\Psi}(1)_{n \times n} = \boldsymbol{0}_{n \times n}$$

因为  $\boldsymbol{B}_{n \times h}$  满列秩，故

$$\boldsymbol{A}'_{h \times n} \boldsymbol{\Psi}(1)_{n \times n} = \boldsymbol{0}_{h \times n}$$

故矩阵  $\boldsymbol{A}_{n \times h}$  中的列向量都是协整向量(满足协整向量的定义)。

从 VAR 方程出发，可导出对应的“向量误差修正表示法”(VECM Representation)。

根据与推导 ADF 检验类似的方法可得

$$\Delta \mathbf{y}_t = \boldsymbol{\alpha} + \boldsymbol{\delta}t + (\boldsymbol{\rho} - \mathbf{I}_n) \mathbf{y}_{t-1} + \boldsymbol{\Gamma}_1 \Delta \mathbf{y}_{t-1} + \cdots + \boldsymbol{\Gamma}_{p-1} \Delta \mathbf{y}_{t-p+1} + \boldsymbol{\varepsilon}_t$$

其中，  $\boldsymbol{\rho} \equiv \boldsymbol{\Phi}_1 + \boldsymbol{\Phi}_2 + \cdots + \boldsymbol{\Phi}_p$ ,  $\boldsymbol{\Gamma}_s \equiv -(\boldsymbol{\Phi}_{s+1} + \cdots + \boldsymbol{\Phi}_p)$ ,  $s = 1, 2, \dots, p-1$ 。

由于  $\mathbf{I}_n - \boldsymbol{\rho} = \mathbf{I}_n - \boldsymbol{\Phi}_1 - \boldsymbol{\Phi}_2 - \cdots - \boldsymbol{\Phi}_p = \boldsymbol{\Phi}(1) = \mathbf{B}\mathbf{A}'$ , 故

$$\Delta \mathbf{y}_t = \boldsymbol{\alpha} + \boldsymbol{\delta}t - \mathbf{B} \underbrace{\mathbf{A}' \mathbf{y}_{t-1}}_{\mathbf{z}_{t-1}} + \boldsymbol{\Gamma}_1 \Delta \mathbf{y}_{t-1} + \boldsymbol{\Gamma}_2 \Delta \mathbf{y}_{t-2} + \cdots + \boldsymbol{\Gamma}_{p-1} \Delta \mathbf{y}_{t-p+1} + \boldsymbol{\varepsilon}_t$$

其中，  $\mathbf{z}_{t-1} \equiv \mathbf{A}' \mathbf{y}_{t-1}$  为误差修正项(因为  $\mathbf{A}$  中的列向量皆为协整向量)。一个协整的 I(1) 系统同时有 VMA, VAR 与 VECM 表示法，此结论称为“格兰杰表示法定理”(Granger Representation Theorem)。

定义  $\boldsymbol{\Gamma}_0 \equiv -\boldsymbol{\Phi}(1) = -\mathbf{B}\mathbf{A}'$ 。

Johansen(1988)使用 MLE 来估计如下 VECM 模型：

$$\Delta \mathbf{y}_t = \boldsymbol{\alpha} + \boldsymbol{\Gamma}_0 \mathbf{y}_{t-1} + \boldsymbol{\Gamma}_1 \Delta \mathbf{y}_{t-1} + \cdots + \boldsymbol{\Gamma}_{p-1} \Delta \mathbf{y}_{t-p+1} + \boldsymbol{\varepsilon}_t$$

为简化推导，假定没有时间趋势项。

假设样本容量为  $T + p$ ，即观测数据为  
 $\{\mathbf{y}_{-p+1}, \mathbf{y}_{-p+2}, \dots, \mathbf{y}_0, \mathbf{y}_1, \dots, \mathbf{y}_T\}$ 。

只有当  $\mathbf{y}_t$  存在协整关系时，此 VECM 模型才能成立；否则，方程左边平稳，而右边非平稳 ( $\boldsymbol{\Gamma}_0 \mathbf{y}_{t-1}$  不平稳)。

假设协整秩为  $h$ ，则系数矩阵  $\boldsymbol{\Gamma}_0$  须满足约束条件 “ $\text{rank}(\boldsymbol{\Gamma}_0) = h$ ”。

在满足 “ $\text{rank}(\boldsymbol{\Gamma}_0) = h$ ” 以及给定  $\{y_{-p+1}, y_{-p+2}, \dots, y_0\}$  的条件下，最大化  $\{y_1, \dots, y_T\}$  的对数似然函数(即条件 MLE)。

假设扰动项为  $n$  维正态分布，即  $\boldsymbol{\varepsilon}_t \sim N(\mathbf{0}, \boldsymbol{\Omega})$ ，而且  $\{\boldsymbol{\varepsilon}_t\}$  为独立同分布的。 $n$  维随机向量  $\boldsymbol{\varepsilon}_t$  的联合密度为

$$\frac{1}{(2\pi)^{n/2} |\boldsymbol{\Omega}|^{1/2}} \exp \left\{ -\frac{1}{2} \boldsymbol{\varepsilon}'_t \boldsymbol{\Omega}^{-1} \boldsymbol{\varepsilon}_t \right\}$$

取对数可得

$$-\frac{n}{2} \ln 2\pi - \frac{1}{2} \ln |\boldsymbol{\Omega}| - \frac{1}{2} \boldsymbol{\varepsilon}'_t \boldsymbol{\Omega}^{-1} \boldsymbol{\varepsilon}_t$$

记  $\boldsymbol{\Pi} \equiv (\boldsymbol{\alpha} \ \boldsymbol{\Gamma}_0 \ \boldsymbol{\Gamma}_1 \cdots \boldsymbol{\Gamma}_{p-1})'$ ,  $\mathbf{x}_t \equiv (1 \ y_{t-1} \Delta y_{t-1} \cdots \Delta y_{t-p+1})'$ ,

则  $\boldsymbol{\varepsilon}_t = \Delta \mathbf{y}_t - \boldsymbol{\Pi}' \mathbf{x}_t$ , 故  $\{\boldsymbol{\varepsilon}_1, \boldsymbol{\varepsilon}_2, \dots, \boldsymbol{\varepsilon}_T\}$  所对应的对数条件似然函数为

$$\begin{aligned} \max \quad & -\frac{nT}{2} \ln 2\pi - \frac{T}{2} \ln |\boldsymbol{\Omega}| - \frac{1}{2} \sum_{t=1}^T [(\Delta \mathbf{y}_t - \boldsymbol{\Pi}' \mathbf{x}_t)' \boldsymbol{\Omega}^{-1} (\Delta \mathbf{y}_t - \boldsymbol{\Pi}' \mathbf{x}_t)] \\ s.t. \quad & \text{rank}(\boldsymbol{\Gamma}_0) = h \end{aligned}$$

其中,  $n$  为该系统中变量的个数,  $T$  为样本容量。

为求解此约束极值问题, 须确定协整秩  $h$ 。当协整秩为  $h$  时, 系数矩阵  $\boldsymbol{\Gamma}_0$  有  $h$  个自由(线性无关)的列向量。

协整秩  $h$  越大，则对矩阵  $\Gamma_0$  的约束越少，对应的似然函数最大值越大。故可进行以下似然比检验：

$$H_0 : \text{rank}(\Gamma_0) = 0 \quad \text{vs} \quad H_1 : \text{rank}(\Gamma_0) > 0$$

由于矩阵  $\Gamma_0$  的秩取决于其非零特征值的个数，故检验统计量被称为“迹统计量”，记为  $\lambda_{\text{trace}}$ 。

由于“迹检验”(trace test)是似然比检验，故为单边右侧检验，即  $\lambda_{\text{trace}}$  越大(加上  $H_0$  约束后，似然函数的最大值下降越多)，则越倾向于拒绝原假设。

如果接受 “ $H_0 : \text{rank}(\Gamma_0) = 0$ ”，则认为不存在协整关系。反之，则继续检验是否存在多个协整关系：

$$H_0 : \text{rank}(\boldsymbol{\Gamma}_0) = 1 \quad vs \quad H_1 : \text{rank}(\boldsymbol{\Gamma}_0) > 1$$

依次顺序不断进行检验，直到接受  $H_0$ ，确认协整秩  $h$  为止。

确认协整秩  $h$  后，可用条件 MLE 来估计 VECM 模型中的所有参数，包括长期参数(协整系数)与短期参数。

Johansen 还考虑了另一类检验：

$$H_0 : \text{rank}(\boldsymbol{\Gamma}_0) = p \quad vs \quad H_1 : \text{rank}(\boldsymbol{\Gamma}_0) = p + 1$$

其检验统计量为“最大特征值统计量”(maximum eigenvalue statistics)，记为  $\lambda_{\max}$ ，称为“最大特征值检验”。